*Revista Ibérica de Aracnología,* nº **31** (31/12/2017): 64–70.
Grupo Ibérico de Aracnología (S.E.A.). ISSN: 1576 - 9518.



# UNA ESPECIE NUEVA DE *AMMOTRECHELLA* ROEWER 1934 (SOLIFUGAE: AMMOTRECHIDAE), DE COLOMBIA

Maira Acosta-Berrocal[1], Edwin Bedoya-Roqueme[1],
Gustavo Salleg-Pérez[1] & Jorge A. Quiros-Rodríguez[1]

[1] Grupo de Investigación en Biodiversidad Marina y Costera: BIODIMARC, Facultad de Ciencias Básicas, Universidad de Córdoba, Montería, Colombia — Aryamacostabe@gmail.com

**Resumen:** Se describen ambos sexos de una especie nueva del género *Ammotrechella* Roewer, 1934, la cual habita en fragmentos de manglar costero [*Rhizophora mangle* (L.)] del municipio de San Antero, departamento de Córdoba, Caribe colombiano.
**Palabras clave:** Solifugae, Ammotrechidae, especie nueva, manglares, Córdoba, Colombia.

**A new species of *Ammotrechella* Roewer 1934 (Solifugae: Ammotrechidae), from Colombia**
**Abstract:** Both sexes of a new species of the genus *Ammotrechella* Roewer, 1934, are herein described, based on material from fragments of coastal mangrove forest [*Rhizophora mangle* (L.)], municipality of San Antero, Córdoba department, Colombian Caribbean.
**Key words:** Solifugae, Ammotrechidae, new species, mangrove forests, Córdoba, Colombia.

**Taxonomía/Taxonomy:** *Ammotrechella manggi* **sp. nov.**

## Introducción

La familia Ammotrechidae fue creada por Roewer (1934) inicialmente para agrupar a las subfamilias Ammotrechinae Roewer, 1934, Mummuciinae Roewer, 1934, Oltacolinae Roewer, 1934 y Saronominae Roewer, 1934. Actualmente se divide en cinco subfamilias: (1) Ammotrechinae, con *Ammotrecha* Banks, 1900 (10 especies), *Ammotrechella* Roewer, 1934 (17 especies), *Ammotrechesta* Roewer, 1934 (cinco especies), *Ammotrechinus* (una especie), *Ammotrechulla* Roewer, 1934 (12 especies), *Antillotrecha* Armas, 1994 (cinco especies), *Campostrecha* Mello-Leitão, 1937 (una especie), *Chileotrecha* Maury, 1987 (dos especies), *Dasycleobis* Mello-Leitão, 1940 (una especie), *Neocleobis* Roewer, 1934 (una especie), *Pseudocleobis* Pocock, 1900 (20 especies); (2) Mortolinae Mello-Leitão, 1938, con *Mortola* Mello-Leitão, 1938 (una especie); (3) Nothopuginae Maury, 1976, con *Nothopuga* Maury, 1976 (dos especies); (4) Oltacolinae Roewer, 1934, con *Oltacola* Roewer, 1934 (cuatro especies); y (5) Saronominae Roewer, 1934, con *Branchia* Muma, 1951 (tres especies), *Chinchippus* Chamberlin, 1920 (dos especies), *Innesa* Roewer, 1934 (una especie), *Procleobis* Kraepelin, 1899 (una especie), *Saronomus* Kraepelin, 1900 (una especie); además, los géneros *Eutrecha* Maury, 1982 (dos especies) y *Xenotrecha* Maury, 1982 (una especie), no han sido asignados a ninguna subfamilia (Roewer, 1934; Maury, 1976, 1982, 1987; Harvey, 2003, 2013; Iuri *et al*., 2014; Botero-Trujillo & Iuri, 2015; Villarreal-Blanco *et al*., 2017). Algunos cambios importantes en la composición taxonómica de los Ammotrechidae han sido los siguientes: elevación de Mummuciinae al rango de familia (Maury, 1982, 1987); transferencia de los géneros *Mummuciona* Roewer, 1934 y *Sedna* Muma, 1971, y de *Chileotrecha romero* (Kraus, 1966) y *Pseudocleobis patagonicus* (Roewer, 1934), todos previamente en Mummuciidae, hacia la familia Ammotrechidae (Maury, 1976, 1982, 1987; Botero-Trujillo & Iuri, 2015); y el reconocimiento de *Ammotrechona* Roewer, 1934 como un sinónimo más moderno de *Ammotrechella* (Armas, 2004).

Los individuos del género *Ammotrechella* comúnmente pueden ser encontrados en hábitat áridos y semiáridos, refugiados en madrigueras construidas con ayuda de los quelíceros y pedipalpos o mientras trepan arbustos en busca de presas (Muma, 1988). En América, los registros de estos arácnidos se hallan en zonas costeras y subxerofíticas (Muma, 1951; Armas, 2004; Armas & Alegre 2001; Valdivia *et al.,* 2008; Catenazzi *et al.,* 2009; Valdivia *et al.,* 2011; Teruel & Questel, 2011); en manglares son escasos, restringiéndose a zonas del Caribe en Jamaica, México y San Antero (Muma, 1971; García *et al.,* 2014; Salleg-Pérez *et al*., 2016).

La fauna de solífugos actualmente cuenta con 1187 especies, distribuidas en 141 géneros y 12 familias (Harvey, 2013; González-Moliné, 2015), de las cuales Ammotrechidae se caracteriza por ser endémica del continente americano, de donde se conocen 24 géneros y 94 especies (Iuri *et al.,* 2014); en Colombia se encuentra representada por tres géneros: *Ammotrechella* Roewer, 1934, *Ammotrechulla* Roewer, 1934 y *Saronomus* Kraepelin, 1900 (Maury, 1982; Harvey, 2013). En la presente contribución se describe una nueva especie colombiana de *Ammotrechella*, previamente registrada por Salleg-Pérez *et al*. (2016) como indeterminada.

## Material y métodos

Los especímenes se recolectaron en fragmentos de manglar al sur del Golfo de Morrosquillo localizados entre los 9º 24' 34.29" N y 45' 20.95" O, entre los meses de octubre de 2015 a julio de 2016; a través de la recolecta manual se examinó, desde el nivel del suelo hasta los 3 m de altura, la corteza de árboles vivos y troncos en descomposición, por un tiempo efectivo de 60 minutos/colector; los especímenes fueron depositados en frascos plásticos y conservados en etanol al 70% para su posterior examen en el laboratorio.

Las medidas (en milímetros) fueron tomadas utilizando un micrómetro incorporado al microscopio (Carl Zeiss, Axiostar, Alemania) con la ayuda del programa AxioVision Rel.4.8.2. SP3 (Carl Zeiss, 2013) según el método propuesto por Muma (1951); la terminología utilizada para referirse a los dientes y otras estructuras del quelícero siguió lo pro-




**Fig. 1-4**. *Ammotrechella manggi* sp. nov. **1-2**, Macho holotipo: **1**, vista dorsal; **2** Vista dorsal del propeltidio. **3-4,** Hembra paratipo (CZUC-ARSOLP02): **3**, Vista dorsal; **4,** Vista dorsal del propeltidio. Escala=1mm.

puesto por Bird *et al.* (2015); los segmentos del pedipalpo y las patas, según Shultz (1989). Finalmente, los especímenes identificados fueron depositados en la sala de Colecciones Zoológicas de la Universidad de Córdoba (CZUC). El mapa de distribución en los fragmentos de manglar costero fue realizado con la ayuda del programa QGIS 2.14 (Quantum GIS Development Team, 2016).

**Abreviaturas:** terminología dientes del quelícero, dedo fijo: **FT**: Diente terminal, **FD**: Diente distal**, FSD**: Diente subdistal, **FM**: Diente medial, **FSM**: Diente submedial, **FP**: Diente principal, **RFA**: Diente apical retrofondal, **RFM**: Diente medial retrofondal, **RFP**: Diente principal retrofondal, **RFSP**: Diente subproximal retrofondal, **PFM**: Diente medial profondal, **PFSM**: Diente submedial profondal, **PFP**: Diente proximal profondal, **PFSP**: Diente subproximal profondal; dedo móvil: **MT**: Diente terminal, **MM**: Diente medial, **MSM**: Diente submedial, **MP**: Diente principal, **frfd**: diastema retrofondal.

## Taxonomía

**Familia AMMOTRECHIDAE Roewer, 1934**

**Subfamilia Ammotrechinae Roewer, 1934**

Género *Ammotrechella* Roewer, 1934

***Ammotrechella manggi* sp. nov.**

Fig. 1-16; Tabla I.

*Ammotrechella* sp. Salleg-Pérez *et al*., 2016: 148-149, figs. 1 a-f.

**Holotipo**: 1 ♂, San Antero-Córdoba, Colombia: Playa Blanca (9°25'5.0" N, 75°44'51.9" O), octubre de 2015-julio de 2016, manglar, M. Acosta-Berrocal leg (CZUC-ARSOLH01). **Paratipos**: 19 ♀, San Antero-Córdoba, Colombia: (9º 24' 34.29" N y 45' 20.95" O), octubre de 2015-julio de 2016, M. Acosta-Berrocal leg (CZUC-ARSOLP02 al 21). 8 ♂, San Antero- Córdoba. Colombia (9º 24' 34.29" N y 45' 20.95" O), octubre de 2015-julio de 2016, manglar, M. Acosta-Berrocal leg (CZUC-ARSOLP22 al 30).

**Diagnosis**: Especie pequeña ♂, 7,71 mm (♀, 8,85 mm), cuerpo uniformemente de color amarillo pálido, patas I - II blanquecinas con apariencia translucida hacia los tarsos; pata III con poca pigmentación, tendiendo a ser más clara que las otras; pata IV de color castaño oscuro, desde la mitad basal de la patela hasta el basitarso, telotarso con poca pigmentación. Dedo fijo del quelícero con fórmula FD- FM (1)- FP (1RFA – 1RFM – 1RFSP), con un diente secundario en las series RFM y RFSP; dientes profondales PFM- (1PFSM)- PFP distribuidos en tres bases independientes, y 2PFDP en una base compartida. Tibia de los pedipalpos con cuatro pares de sedas espiniformes pareadas.

### Descripción del macho

**Propeltidio**: Tan largo como ancho; cubierto por sedas espiniformes muy cortas; de color amarillo pardusco con una ligera pigmentación progresiva hacia los lóbulos laterales y quelíceros, tubérculo ocular negro (Fig.1). Lóbulos laterales poco prominentes con abundantes sedas acuminadas, separados del propeltidio por un surco dorsal ligeramente oscurecido (Fig. 2). Ojos medios separados por una distancia inferior al diámetro ocular (0,11 mm). Mesopeltidio semicircular con una hilera dorsal de 15 a 20 sedas largas. Metapeltidio con sedas de distinto tamaño, presentando de 15 a 30 más robustas.

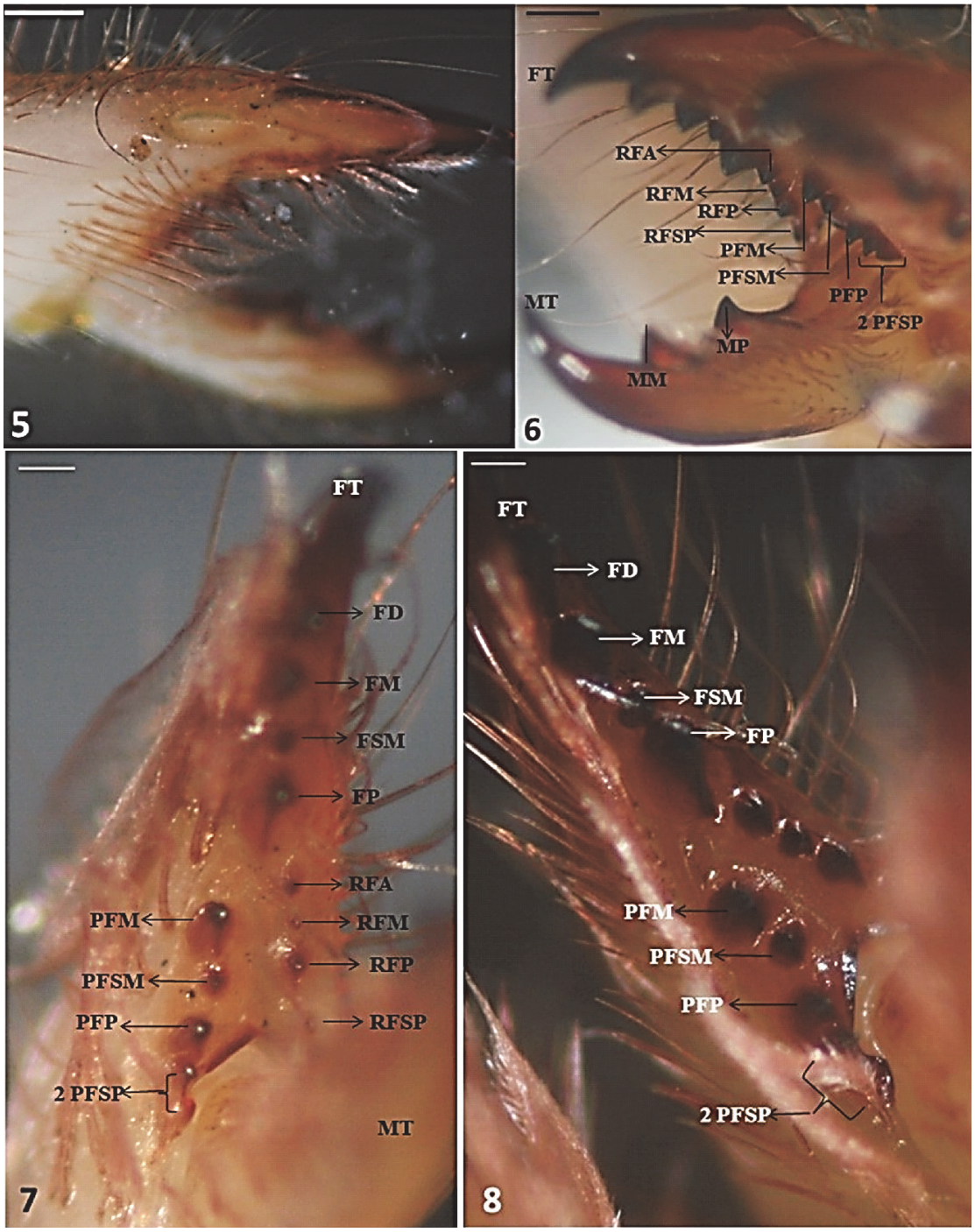



**Fig. 5-8**. *Ammotrechella manggi* sp. nov. Quelícero: 5, 7, macho holotipo; 6, 8, hembra paratipo (CZUC-ARSOLP02). **5**, Vista prolateral del flagelo. **6**, Vista prolateral de los dedos. **7-8,** dedo fijo, vista ventral. Terminología: **FT:** Diente terminal**, FD:** Diente distal**, FSD:** Diente subdistal**, FM:** Diente medial**, FSM:** Diente submedial**, FP:** Diente principal**, RFA:** Diente apical retrofondal**, RFM:** Diente medial retrofondal**, RFP:** Diente principal retrofondal**, RFSP:** Diente subproximal retrofondal**, PFM:** Diente medial profondal, **PFSM:** Diente submedial profondal**, PFP:** Diente proximal profondal**, PFSP:** Diente subproximal profondal; dedo móvil: **MT:** Diente terminal**, MM:** Diente medial**, MSM:** Diente submedial**, MP:** Diente principal; Escala=1 mm (Figuras 5, 6); 0.4 mm (Figuras 7, 8).

**Quelíceros**: con sedas largas y gruesas distribuidas en la superficie dorsal, superficie externa con numerosas sedas de menor tamaño ubicadas a dos tercios del margen distal y superficie interna con pocas sedas en sus dos tercios basales; con un área subdistal de sedas finas y cortas; margen distal con abundantes sedas plumosas, mucrón corto y ligeramente curvado (Fig. 5). Dedo fijo con serie que comprende los dientes primarios (FP, FM, FD) pronunciados; dientes secundarios dispuestos en una categoría (FSM), reducido en comparación a los principales; dientes retrofondales como sigue: RFA, RFM, RFP y RFSP, interrumpido por diastema retrofondal (frfd) entre RFP y RFSP; RFA y RFP mayor que RFM y RFSP; serie de dientes profondal con cinco dientes PFM, PFSM, PFP y 2PFSP; PFM- (PFSM)- PFP distribuidos en tres bases independientes, y 2PFDP en una base compartida, siendo 2PFSP de mayor tamaño que 1PFSP, PFM más robusto que PFP, PFSM desviado hacia la zona interna del quelícero y más reducido que PFS, PFP y PFSP, con una pequeña diastema profondal entre PFP y PFSM (Fig. 7). Dedo móvil, comprende tres dientes en vista retrolateral, siendo MP más pro-

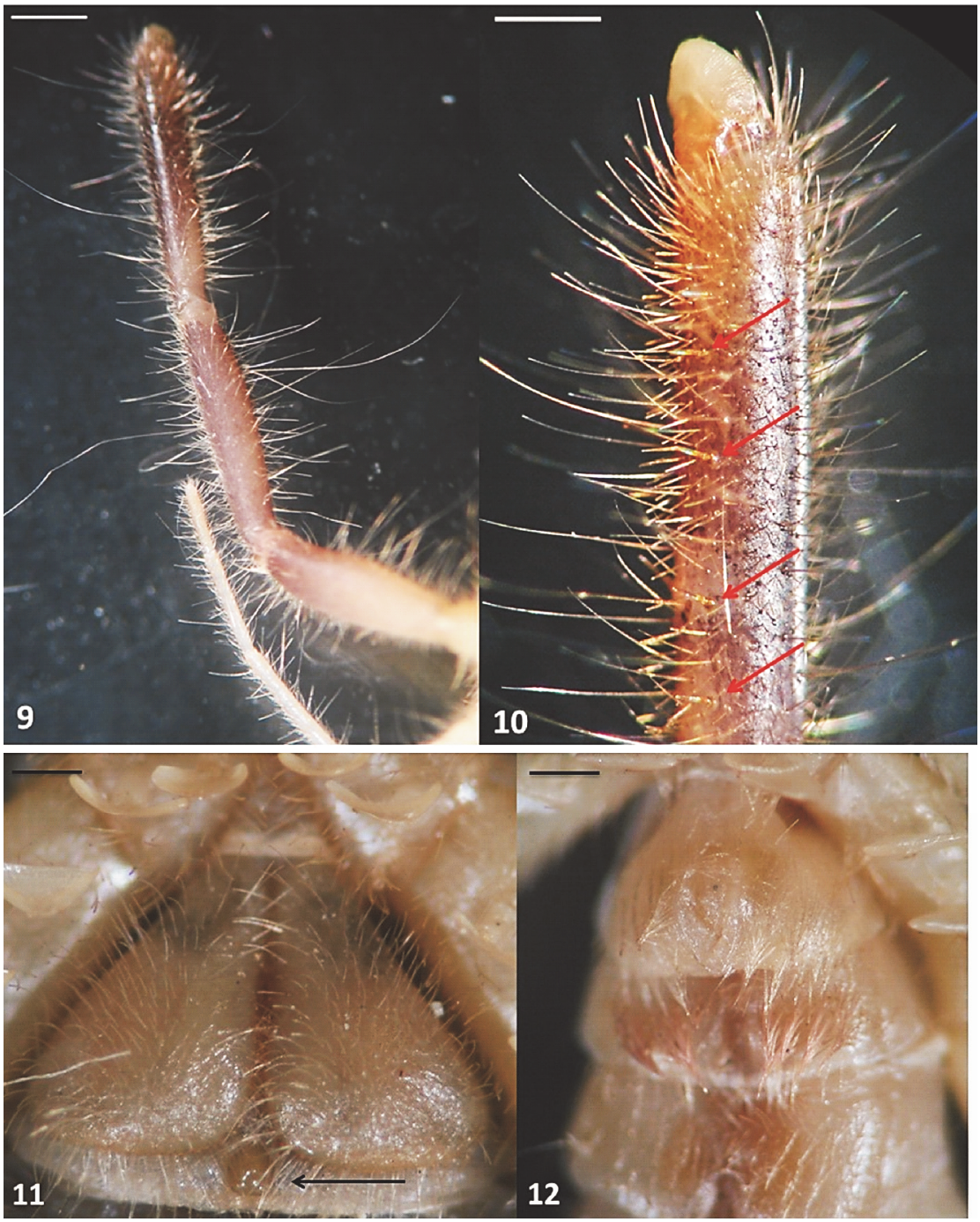



**Fig. 9-12.** *Ammotrechella manggi* sp. nov. 9-10, 12, Macho holotipo; 11, hembra paratipo (CZUC-ARSOLP02). **9**, pedipalpo izquierdo, vista dorsal. **10**, Sedas espiniformes laterales (saetas) de la tibia del pedipalpo.**11**, Opérculo genital; la saeta indica la estructura circular de apariencia cristalina. **12**, Ctenidios, Escala = 1 mm (Fig. 9); 0,4 mm (Fig. 10); 0.5 mm (Fig.11, 12).

nunciado que MM y MSM proximal a MP, y uno en vista prolateral de menor tamaño que MP. Cierre de FP proximal del diente MP. Flagelo del macho inmóvil, constituido por una membrana cóncava, translúcida con apariencia plumosa hacia el extremo apical, sujeta al dedo fijo del quelícero por un anillo de fijación ubicado sobre PFSM, con el extremo más estrecho del flagelo dirigido hacia delante (Fig. 5).

**Pedipalpos**: moderadamente largos y delgados; de color castaño oscuro desde la mitad distal del fémur hasta el tarso, apotele amarillo claro; fémur y patela sin espinas; presencia de tres pares de sedas laterales en la tibia, patela y fémur, siendo los de la patela de mayor longitud de aproximados 2,32 mm de longitud (Fig. 9), tibia ventralmente con cuatro pares de sedas espiniformes, cortas y finas, que se confunden con la pilosidad del segmento (Fig. 10).

**Patas**: I y II sin pigmentación, patas III sombreadas de castaño oscuro en su superficie externa; pata IV de color castaño negruzco con dos anillos poco pigmentados: el primero abarca el cuarto distal de la tibia y la base del basitarso y el segundo ocupa el tercio distal del basitarso. Telotarsos de las patas II y III bisegmentados, con sedas espiniformes ventrales dispuestas 1.2.2/1. Telotarso de las patas IV tetrasegmentados, con sedas espiniformes ventrales dispuestas 2.2/2/2/0. Los segmentos de la patela, tibia y basitarso presentan un par de sedas proyectadas dorsalmente de gran longitud. En los juveniles las partes castañas son




**Fig. 13-16**. *Ammotrechella manggi* sp. nov. Patrones de coloracion. 13-14, Machos paratipos CZUC-ARSOLP22 y CZUC-ARSOLP25. **15** -**16**, hembras paratipos CZUC-ARSOLP05 y CZUC-ARSOLP07. Escala: 1 mm.

**Tabla I. Medidas (mm) de *Ammotrechella manggi* sp. nov.**
L, longitud; W, anchura. Máx: Máximo; Mín: Mínimo.

| | ♂ | ♂♂ paratipos | | ♀♀ paratipos | |
|---|---|---|---|---|---|
| | holotipo | Máx | Mín | Máx | Mín |
| **L Total** | | | | | |
| Sin quelícero | 7,71 | 7,71 | 5,26 | 8,85 | 5,91 |
| **Propeltidio** | | | | | |
| L | 1,76 | 1,94 | 1,35 | 1,88 | 1,16 |
| W | 1,8 | 1,93 | 1,3 | 2,31 | 1,45 |
| **Quelícero** | | | | | |
| L | 1,73 | 2,86 | 1,99 | 2,94 | 1,31 |
| W | 0,64 | 0,97 | 0,63 | 1,22 | 0,64 |
| **L Total Pedipalpo** | 6,01 | 7,69 | 5,87 | 6,03 | 4,09 |
| **L Total Pata I** | 3,81 | 6,24 | 3,78 | 4,64 | 3,23 |
| Patela L | 1,31 | 1,37 | 0,63 | 1,03 | 0,49 |
| Tibia L | 0,95 | 1,47 | 0,91 | 1,49 | 0,76 |
| Basitarso L | 0,49 | 1,06 | 0,56 | 0,58 | 0,3 |
| Telotarso L | 0,8 | 1,37 | 0,9 | 0,79 | 0,45 |
| **L Total Pata IV** | 8,28 | 9,13 | 8,24 | 8,43 | 7,25 |
| Patela L | 1,83 | 2,48 | 2,18 | 1,94 | 1,51 |
| Tibia L | 2,23 | 2,31 | 1,91 | 2,35 | 1,85 |
| Basitarso L | 1,61 | 1,1 | 0,77 | 0,93 | 0,6 |
| Telotarso L | 0,96 | 1,82 | 1,6 | 1,69 | 1,24 |

más claras, por lo que el patrón de coloración tiene un aspecto menos contrastante.

**Opistosoma**: poco pigmentado, con una franja longitudinal que lo recorre en toda su extensión. Terguitos con sedas cortas que se concentran especialmente en los bordes de la placa media. Segundo esternito con ctenidios largos de color castaño rojizo (Fig. 12).

### Descripción de la hembra

**Propeltidio**: 1,6 veces más ancho que largo; lóbulos laterales más prominentes con abundantes sedas finas que lo recubren; castaño claro, tubérculo ocular negro y borde anterior de la placa de color castaño oscuro. Mesopeltidio y metapeltidio amarillo pálido (Fig. 4).

**Quelíceros**: quilla dorsal del dedo fijo más desarrollada y el mucrón algo curvado (Fig. 6), con la serie que comprenden todos los dientes primarios (FP, FM y FD) pronunciados; dientes secundarios dispuestos en una categoría (FSM), reducido en comparación a los dientes principales; serie de dientes retrofondales que comprende RFA, RFM, RFP y RFSP de mayor tamaño en comparación a los de los machos, diastema retrofondal (frfd) reducida casi inexistente entre la RFP y RFSP; RFA y RFP mayor que RFM y RFSP; serie de dientes profondal con cinco dientes PFM, PFSM, PFP, 2PFSP; PFM-(PFSM)- PFP distribuidos en tres bases independientes, y 2PFDP en una base compartida, siendo 2PFSP de mayor tamaño que 1PFSP, PFM más robusto que PFP, PFSM desviado hacia la zona interna del quelícero y más reducido que PFS, PFP y PFSP, con una pequeña diastema profondal entre PFP y PFSM (Fig. 6-8).

**Pedipalpos**: de color castaño oscuro desde la mitad distal del fémur hasta el tarso, apotele amarillo pálido y de menor tamaño en comparación al macho. Presencia de tres pares de sedas laterales en la tibia, patela y fémur, siendo los de la patela de mayor longitud de aproximados 1,69 mm de longitud (Fig. 3). Tibia ventralmente con cuatro pares de sedas espiniformes, finas, de menor tamaño que en los machos, y poco distinguibles entre las abundantes sedas que cubren el segmento.

**Opistosoma**: presenta coloración y características similares al macho, terguitos y últimos esternitos con una o dos bandas de color castaño oscuro; el resto de los esternitos, pleuras, coxas y trocánteres con poca pigmentación. La placa genital, con dos placas que presenta un canal central longitudinal tal y como describió Simon (1879b) y que solo se aprecia en hembras que han alcanzado la madurez sexual, presencia de una estructura circular y de apariencia cristalina por debajo de la placa genital (fig. 11).

**Patas**: I y II sin pigmentación, patas III sombreadas de castaño oscuro en su superficie externa; pata IV de color castaño

negruzco con dos anillos poco pigmentados: el primero abarca el cuarto distal de la tibia y la base del basitarso y el segundo ocupa el tercio distal del basitarso. Telotarsos de las patas II y III, bisegmentados con sedas espiniformes ventrales dispuestas 1.2.2/1. Telotarso de las patas IV, tetrasegmentados con sedas espiniformes ventrales dispuestas 2.2/2/2/0. Los segmentos de la patela, tibia y basitarso presentan un par de sedas proyectadas dorsalmente de gran longitud. En los juveniles las partes castañas son más claras, por lo que el patrón de coloración tiene un aspecto menos contrastante.

**ETIMOLOGÍA**: El epíteto específico *manggi* es de origen caribe; significa arbusto de agua salada y corresponde a los manglares, hábitat en el que esta especie ha sido recolectada. Está utilizado en aposición.

**DISCUSIÓN**

De acuerdo al patrón de coloración, la pigmentación del propeltidio y las bandas laterales en el opistosoma *Ammotrechella manggi* es similar a *A. stimpsoni* (Putnam, 1883)*, A. pseustes* (Chamberlin, 1925)*, A. maguieri* Muma, 1986*, A. pallida* Muma y Nezario, 1971 (Centroamérica), diferenciándose de *A. elieri* Armas, 2012 (Cuba) por su coloración rojiza; *A. manggi* presenta las patas III sombreadas de castaño oscuro en su superficie externa; pata IV de color castaño negruzco con dos anillos poco pigmentados: el primero abarca el cuarto distal de la tibia y la base del basitarso y el segundo ocupa el tercio distal del basitarso, así como en el propeltidio la coloración es castaño claro, tubérculo ocular negro y borde anterior de la placa de color castaño oscuro (Fig. 1, 3), lóbulos laterales cubiertos abundantemente por sedas acuminadas, pedipalpos con un par de sedas en la tibia, patela y fémur diferenciales por su gran longitud siendo más largas en machos y proyectadas hacia los laterales, de igual forma, en las patas poseen sedas con las mismas características en la patela, tibia y basitarso proyectadas dorsalmente. Se diferencia de *A. stimpsoni* en el número de sedas espiniformes de la tibia del pedipalpo (dos pares de sedas espiniformes y una o dos sin parear contra cuatro pares de sedas espiniformes en *A. manggi*), difiere de *A. maguieri* en la carina del quelícero, mientras que en *A. manggi* es robusta y desarrollada iniciando desde el diente RSP, en *A. maguieri* presenta poco desarrollado, lo cual brinda una apariencia lisa al dedo fijo del quelícero de esta especie.

Se diferencia de las otras especies del género *Ammotrechella* por el número, disposición, forma y tamaño de sus dientes, a pesar de mantener semejanzas en la forma general de las carinas del quelícero con *A. pseustes* y *A. pallida*. Las especies *A. bolivari* (Mello-Leitao, 1942) (México)*, A. setulosa* Muma, 1951 (Estados Unidos de América), *A. stimpsoni, A. jutisi* Armas y Teruel, 2005 y *A. hispaniolana* Armas y Alegre, 2001 presentan cuatro dientes profondales; en tanto *A. apeji* Muma, 1971*, A. beatricae* Teruel y Questel, 2011 poseen tres dientes prolaterales. En *A. geniculata* (Koch, 1842) y *A. elieri* existen variaciones intraespecíficas en el número de dientes, ya que presentan en ambos casos cuatro o cinco dientes retrolaterales y prolaterales, pero mantienen un mayor tamaño corporal: 14-19 mm en *A. geniculata*; 9,7- 12,5 en *A. elieri* y 5,26-7,71 en *A. manggi*.

Se asemeja a *A. cubae* (Lucas, 1835) en sus medidas corporales (9 mm *vs* 7,71 mm) y el número de dientes quelicerales, sin embargo, *A. manggi* se diferencia por el tamaño y distribución de la serie profondal, con cinco dientes (PFM, PFSM, PFP y 2PFSP); PFM- (PFSM)- PFP distribuidos en tres bases independientes y 2PFDP en una base compartida, siendo 2PFSP de mayor tamaño que 1PFSP, PFSM desviado hacia la zona interna del quelícero y más reducido que PFS, PFP y PFSP, con una pequeña diastema profondal entre PFP y PFSM; mientras que *A. cubae* presenta cinco dientes profondales distribuidos en dos bases (PFM, PFSM) y (PFP, 2PFSP), siendo PDP y 1PFSP más robustos que PFM, PDSM y 2PFSP con tamaño aproximado. Algunos autores como Bird *et al.* (2015) consideran anormal y muy raro cuando se presentan dos dientes en la serie PFSP; sin embargo, *A. manggi* presenta esta particularidad en todos los especímenes manteniendo el tamaño y su distribución (Fig. 7 y 8).

**HISTORIA NATURAL**. La familia Ammotrechidae ha sido reportada en otras regiones de Colombia, zonas que corresponde a ecosistemas continentales (Maury, 1982). El género *Ammotrechella* se encuentra distribuido desde el sur de los Estados Unidos de América hasta el norte de Sudamérica (incluyendo las zonas insulares del Caribe). A pesar de lo anterior, los reportes en manglares son escasos restringiéndose a zonas del Caribe (*A. apeji* Muma, 1971 espécimen inmaduro en corteza de árboles de mangle muerto y arbustos xéricos de cactus en Claredon Parish, Jamaica). Sin embargo, el género *Ammotrechella* no había sido registrado en manglares colombianos (ver Salleg *et al*., 2016). *A. manggi* suele habitar en ecosistemas de manglar costero inundable en San Antero, Córdoba (Fig. 17); refugiándose en la vegetación, se encuentra con mayor frecuencia durante la caída de intensas lluvias, en cautividad acepta termitas (*Kalotermes* sp.), manifestando voracidad y una fuerte tendencia al canibalismo, que finaliza con la depredación de los de menor talla (M. Acosta-Berrocal, observ. pers.), exhibe hábitos arborícolas, los ejemplares capturados durante el día han sido hallados en la vegetación, debajo de la corteza semidesprendida de árboles de *R. mangle* y *Conocarpus erectus*, con una altura promedio de cero a tres metros del suelo, presentando marcadas variaciones de los patrones de coloración entre machos, hembras (Fig. 1,3, 13-16), y estadios inmaduros.


### Agradecimiento

Agradecemos cordialmente a Luis F. de Armas (Instituto de Ecología y Sistemática, La Habana), Hernán Iuri (Universidad de Buenos Aires, Argentina), Diego Barrales (Colección Nacional de Arácnidos, Instituto de Biología, Universidad Nacional Autónoma de México) por su colaboración y asesoría en el proceso de identificación taxonómica y a dos anónimos evaluadores por sus útiles consejos para la mejora del manuscrito, asimismo, por sus aportes y comentarios. A Víctor Atencio García, director del Centro de Investigación Piscícola-CINPIC de la Universidad de Córdoba, por facilitar las instalaciones del laboratorio de microscopia para la toma de fotografías y al personal del Laboratorio de Entomología de la Universidad de Córdoba (LEUC) por su colaboración. Finalmente, agradecemos a Juan Vergara (Universidad de Córdoba, Colombia) por su colaboración en el procesamiento de las figuras.

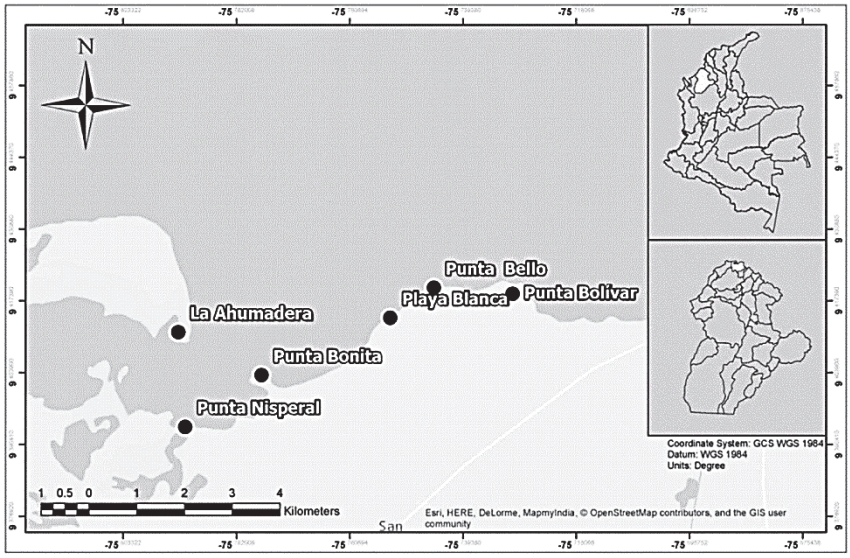



**Fig.17**. Distribución de *A. manggi* sp. nov. en fragmentos de manglar de la línea de costa y de la Bahía de Cispatá, San Antero, Córdoba.

## Bibliografía


ARMAS, L. DE 2004. Arácnidos de República Dominicana. I. Palpigradi, Schizomida, Solifugae, Thlyphonida (Arthropoda: Arachnida). *Revista Ibérica de Aracnología*, volumen especial monográfico, **2**: 1-64(*).

ARMAS, L. DE & A. ALEGRE 2001. Especie nueva de *Ammotrechella* (Solifugae: Ammotrechidae) de La Española, Antillas Mayores. *Solenodon*, **1**: 5-7.

BIRD, T., R. WHARTON & L. PRENDINI 2015. Cheliceral morphology in Solifugae (Arachnida): primary homology, terminology and character survey. *Bulletin of the American Museum of Natural History*, **394**:1-355.

BOTERO-TRUJILLO, R. & H. IURI 2015. *Chileotrecha romero* (Kraus, 1966) comb. nov. and *Pseudocleobis patagonicus* (Roewer, 1934) comb. nov. transferral from Mummuciidae to Ammotrechidae (Arachnida, Solifugae). *Zootaxa*, **3990**:437-443.

CARL ZEISS. 2013. AxioVision User's Guide, Release 4.8.2 – SP3. © Carl Zeiss Microscopy GmbH 1999. Jena, Alemania.

CATENAZZI, A., J. BROOKHART & J. CUSHING 2009. Natural history of coastal Peruvian solifuges with a redescription of *Chinchippus peruvianus* and an additional new species (Arachnida, Solifugae, Ammotrechidae). *Journal of Arachnology*, **37**: 151-159.

GARCÍA, A., G. CASTAÑO, M. VÁZQUEZ & J. PALACIOS 2014. Mesofaunal arthropod diversity in shrub mangrove litter of Cozumel Island, Quintana Roo, México. *Applied Soil Ecology,* **83**: 44-50.

GONZALEZ-MOLINÉ, A.L. 2015. Orden Solifugae. *Revista Ibero Diversidad Entomológica Accesible*, **19**:1-14.

HARVEY, M.S. 2003. *Catalogue of the smaller arachnid orders of the World: Amblypygi, Uropygi, Schizomida, Palpigradi, Ricinulei and Solifugae*. CSIRO Publ. Collingwood, Victoria, 385 pp.

HARVEY, M.S. 2013. Solifuges of the World, version 1.0. Western Australian museum. Perth. Online at: Http: www.museum.wa.gov.au/catalogues/solifuges (Consultado el 1-8-2017).

IURI, H., M. IGLESIAS & A. OJANGUREN 2014. A new species of *Chileotrecha* Maury, 1987 (Solifugae: Ammotrechidae) from Argentina with notes on the genus. *Zootaxa,* **3827**(1): 20-30.

MAURY, E. 1976. Nuevos solífugos Ammotrechidae de la Argentina (Arachnida, Solifugae). *Physis Buenos Aires*, **35**: 87-104.

MAURY, E. 1982. Solífugos de Colombia y Venezuela (Solifugae, Ammotrechidae). *Journal of Arachnology*, **10**(2): 123-143.

MAURY, E. 1987. Consideraciones sobre algunos solífugos de Chile (Solifugae: Ammotrechidae, Daesiidae). *Revista de la Sociedad Entomológica Argentina,* **44**: 419-432.

MUMA, M. 1951. The arachnid order Solpugida in the United States. *Bulletin of the American Museum of Natural History*, **97**(2): 35-141.

QUANTUM GIS DEVELOPMENT TEAM. 2016. Quantum GIS Geographic Information System. Open Source Geospatial Foundation Project. Online at: http://qgis.osgeo.org [Consultado el 5-12-2016].

ROEWER, C. 1934. Solifugae, Palpigrada. En *Klassen und Ordnungen des Tierreich* (H. G. Bronns, ed.), Leipzig, **5**(4): 723 pp.

SALLEG-PÉREZ, G.; M. ACOSTA; E. BEDOYA-ROQUEME & J. QUIRÓS, 2016. Primer registro de solífugos (Solifugae: Ammotrechidae) para bosques de manglar del Caribe Colombiano. *Revista Ibérica de Aracnología*, **28**: 148-150(*).

SHULTZ, J. 1989. Morphology of locomotor appendages in Arachnida: evolutionary trends and phylogenetic implications. *Zoological Journal of the Linnean Society*, **97**: 1-56.

SIMON, E. 1879b. *Les Ordres des Chernetes, Scorpiones et Opiliones*. *In 'Les Arachnides de France'*. Vol. **7**, 332 pp. Librairie Encyclopédique de Roret: París.

TERUEL, R. & K. QUESTEL 2011. A new species of *Ammotrechella* Roewer 1934 (Solifugae: Ammotrechidae) from Saint-Barthélemy, Lesser Antilles. *Boletín de la Sociedad Entomológica Aragonesa (S.E.A.).* **49**: 83-86(*).

VALDIVIA, D., J. PIZARRO, J. CEPEDA & A. OJANGUREN 2008. Diversidad taxonómica y denso-actividad de solífugos (Arachnida: Solifugae) asociados a un ecosistema desértico costero del centro norte de Chile. *Revista de la Sociedad Entomológica Argentina,* **67**(1-2): 1-10.

VALDIVIA, D., J. PIZARRO, R. BRIONES, A. OJANGUREN & J. CEPEDA 2011. Composición de especies y abundancia de solífugos (Arachnida: Solifugae) en ecotopos del desierto costero transicional de Chile. *Revista Mexicana de Biodiversidad,* **82**: 1234-1242.

VILLARREAL-BLANCO, E., L. F. DE ARMAS & L. MARTÍNEZ. 2017. Nueva especie del género *Eutrecha* Maury, 1982 (Solifugae: Ammotrechidae) del Caribe colombiano. *Revista Ibérica de Aracnología*, **30**: 139-143(*).


(*) Referencias disponibles en www.sea-entomologia.org